

Computergrafik

Mitschrift von

Markus Vieth

Steffen Eiden

Lukas Birklein

12. Januar 2017

Vorwort

Dieses Skript basiert auf unserer Mitschrift der Vorlesung Computergrafik und VR im WS 2016/17 an der JGU Mainz (Dozent: Prof. Dr. E. Schömer).

Es handelt sich nicht um eine offizielle Veröffentlichung der Universität.

Wir übernehmen keine Gewähr für die Fehlerfreiheit und Vollständigkeit des Skripts.

Fehler können unter [Github](#) gemeldet werden. Die aktuelle Version dieses Skriptes ist ebenfalls auf [Github](#) zu finden.

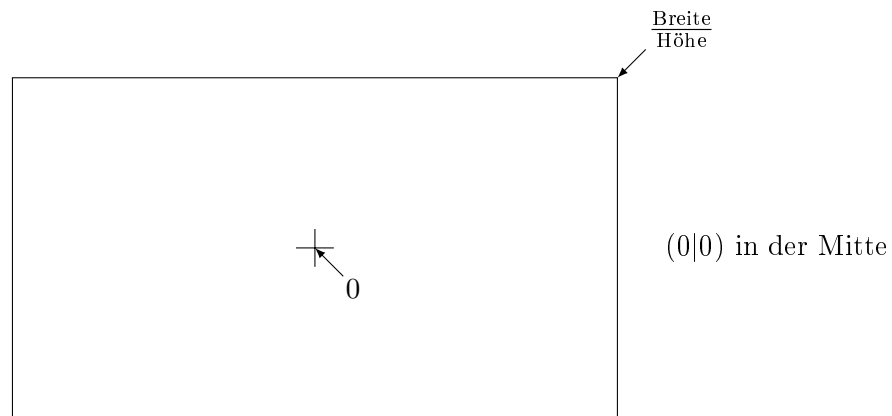
Inhaltsverzeichnis

Vorwort	i
1 Koordinatensysteme	1
1.1 Normalisiertes Koordinatensystem	1
1.2 Bildschirmkoordinaten \Leftrightarrow Weltkoordinaten	1
1.3 Homogene Koordinaten	2
1.4 Transformationen	3
1.4.1 Rotation	3
1.4.2 + Verschiebung	3
1.4.3 Skalierung	3
1.4.4 Translation	3
1.4.5 Hintereinanderausführung von Translation, Rotation und Skalierung	4
1.5 Invertierung von M	4
1.6 Qt	5
2 VBO	6
2.1 Baryzentrische Koordinaten	7
2.2 Texturen	8
2.2.1 Mipmap	8
3 3D-Objekte	10
3.1 Orthogonalprojektion	10
3.2 Perspektivische Projektion	11
3.3 Objekte drehen aka Blickwinkel ändern	14
4 Qt Formen	15
4.1 OFF-Format	16
5 Beleuchtung	17
5.1 Ein einfaches Beleuchtungsmodell	17
5.1.1 Lambertsches Gesetz	17
6 Einschübe	18
6.1 Berechnung des Normalenvektors für parametrisierte Flächen	18
6.2 Tiefenbuffer	18
7 Beleuchtung (Fortsetzung)	19
7.1 Flatshading	19
8 Einschub: virtual Trackball	21
8.1 Formel von Rodrigues	21
8.1.1 dyadisches Produkt	22

9 Beleuchtung (Fortsetzung)	23
9.1 Phong Lichtmodell	23
9.1.1 Phong	23
10 Oberflächen	25
10.1 Texturen	25
10.2 Cube-Mapping	26
11 Volume Rendering mit 3D-Texturen	27
11.1 DVT	27
11.1.1 Lambert-Beer-Gesetz	27
11.2 Raycasting mittels front-to-back rendering	28
12 Einschub: Algebraische Flächen	29

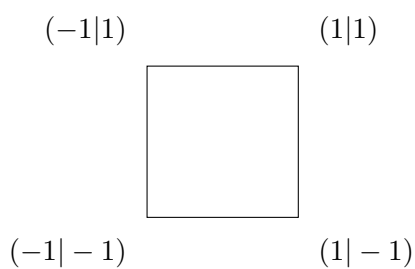
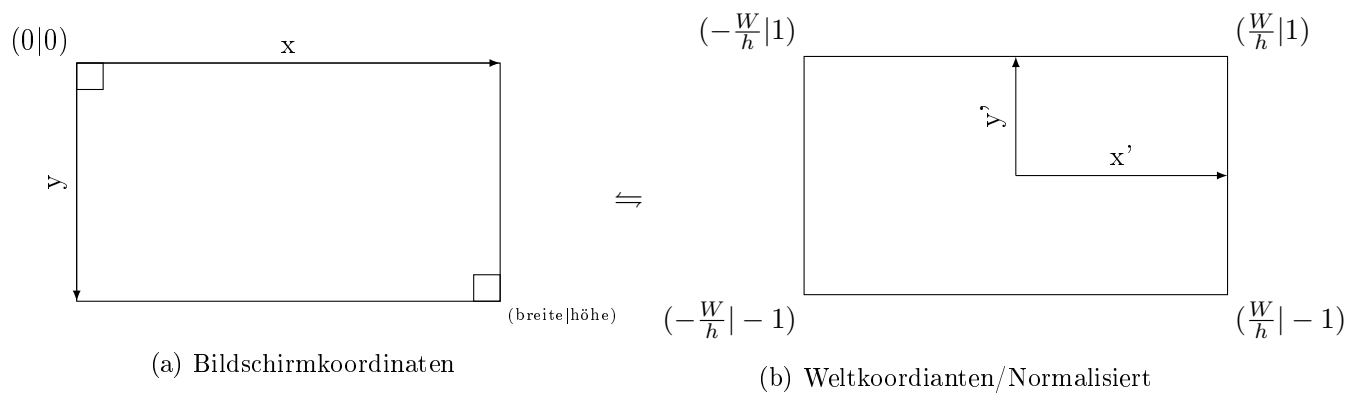
1 Koordinatensysteme

1.1 Normalisiertes Koordinatensystem



glViewport: Ausschnitt wo gezeichnet wird.

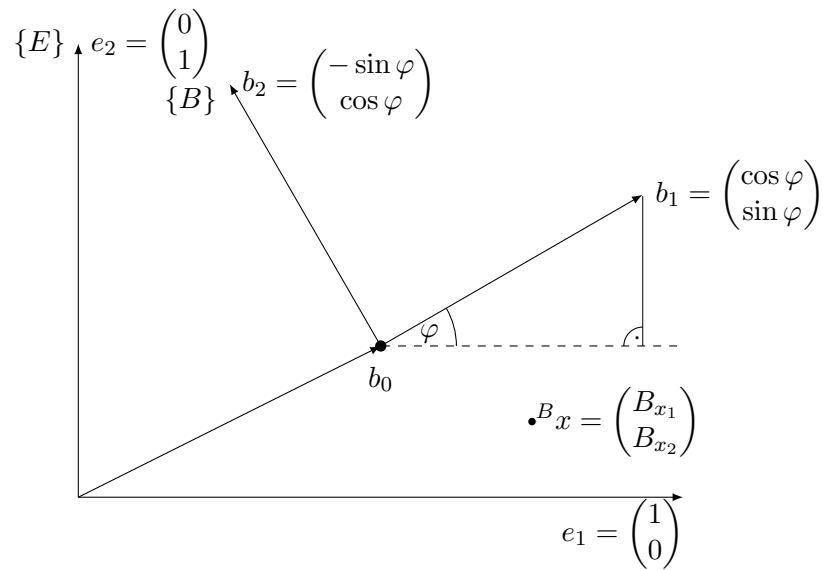
1.2 Bildschirmkoordinaten \Leftrightarrow Weltkoordinaten



$$x' = ax + b$$

$$y' = cy + d$$

1 Koordinatensysteme



b_0 : E-Koordinaten des Ursprungs von System B

b_1, b_2 E-Koordinaten der Basisvektoren von System B

$${}^E x = b_0 + {}^B x_1 \cdot b_1 + {}^B x_2 \cdot b_2$$

$$[b_1, b_2] = R \in \mathbb{R}^{2 \times 2}, \quad |b_1| = |b_2| = 1, \quad \overbrace{b_1^T \cdot b - 2}^{\text{Standardskalarprodukt}} = 0$$

$$R^T \cdot R = \mathbb{E}, \det(R) = 1 \text{ (Rechtssystem)}$$

$$\Rightarrow {}^E x = b_0 + {}^E R \cdot {}^B x$$

1.3 Homogene Koordinaten

$${}^E x^1 = \begin{pmatrix} {}^E x_1 \\ {}^E x_2 \\ 1 \end{pmatrix} = \begin{pmatrix} {}^E x \\ 1 \end{pmatrix} \in \mathbb{R}^3$$

$$= \left(\begin{array}{c|c} {}^E R_B & b_0 \\ \hline 0 & 1 \end{array} \right) \begin{pmatrix} {}^B x \\ 1 \end{pmatrix}$$

$$\begin{pmatrix} \cos \varphi & -\sin \varphi & b_{0_1} \\ \sin \varphi & \cos \varphi & b_{0_2} \\ 0 & 0 & 1 \end{pmatrix} \begin{pmatrix} {}^B x_1 \\ {}^B x_2 \\ 1 \end{pmatrix}$$

Allgemein:

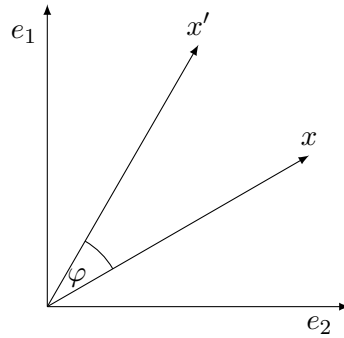
$${}^E x^1 = {}^E M_B \cdot {}^B \hat{x}$$

1. ${}^E M_B$ beschreibt die Transformationsmatrix von Koordinaten aus System B in das System E
2. ${}^E M_B$ kann auch interpretiert werden, als die (starre) Transformation, die E in B überführt.

1.4 Transformationen

1.4.1 Rotation

z.B.



$$x' = R \cdot x$$

1.4.2 + Verschiebung

$$x' = Rx + z$$

$$\rightsquigarrow \hat{x}' = Mx \text{ mit } M = \left(\begin{array}{c|c} R & t \\ \hline 0 & 1 \end{array} \right)$$

$$x' = R(x + t)$$

1.4.3 Skalierung

$$S = \begin{pmatrix} s_1 & 0 \\ 0 & s_2 \end{pmatrix} \quad x' = Sx = \begin{pmatrix} x'_1 = s_1 x_1 \\ x'_2 = s_2 x_2 \end{pmatrix}$$

homogenisiert

$$\hat{S} = \left(\begin{array}{c|c} S & 0 \\ \hline 0 & 1 \end{array} \right)$$

mit $s_2 = -1$ Spiegelung um x_1

1.4.4 Translation

Homogen:

$$\hat{T} = \left(\begin{array}{cc|c} 1 & 0 & t_1 \\ 0 & 1 & t_2 \\ \hline 0 & 0 & 1 \end{array} \right)$$

1 Koordinatensysteme

1.4.5 Hintereinanderausführung von Translation, Rotation und Skalierung

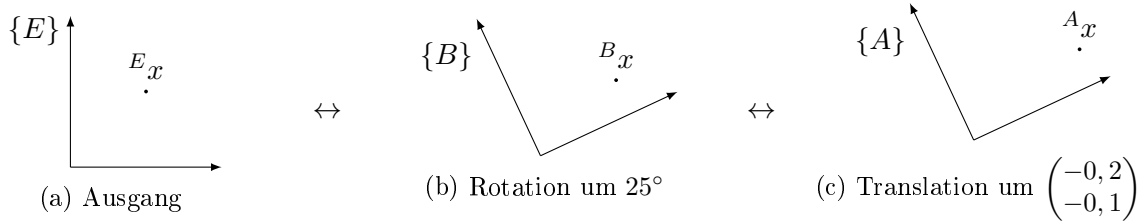
z.B.

$$x''' = S(R(x + t))$$

$$\rightsquigarrow x' = x + t; \quad x'' = Rx'; \quad x''' = Sx''$$

$$x''' = \underbrace{\hat{S}\hat{R}\hat{T}\hat{x}}_{\text{Leserichtung}} \quad \text{alles homogenisiert}$$

^ wird oft weggelassen, wenn klar.



$$\begin{aligned} {}^B M_A {}^A x &= {}^B x \\ {}^E x &= {}^E M_B {}^B x \\ \Rightarrow {}^E x &= \underbrace{{}^E M_B {}^B M_A}^{{}^E M_A} {}^A x \end{aligned}$$

z.B.

gegeben

$${}^E M_B \quad {}^E M_A$$

gesucht

$${}^B M_A$$

$$\begin{aligned} {}^E M_A &= {}^E M_B {}^B M_A \\ \Rightarrow {}^B M_A &= {}^E M_B^{-1} \cdot {}^E M_A \\ {}^E M_B^{-1} &= {}^B M_E \end{aligned}$$

1.5 Invertierung von M

Sei $M = \left(\begin{array}{c|c} R & t \\ \hline 0 & 1 \end{array} \right)$ $\begin{matrix} R^{-1} \\ \uparrow \\ \text{Drehung um } -\varphi \end{matrix} = R^T$ u.a. auch, da Rotation ($R^T R = 1$)

$$\begin{aligned} Mx &= Rx + t = x' \\ \rightsquigarrow R^T(x' - t) &= x \\ \rightsquigarrow R^T x' - R^T t &= x \\ \rightsquigarrow M^{-1} &= \left(\begin{array}{c|c} R^T & -R^T t \\ \hline 0 & 1 \end{array} \right) \end{aligned}$$

1.6 Qt

```

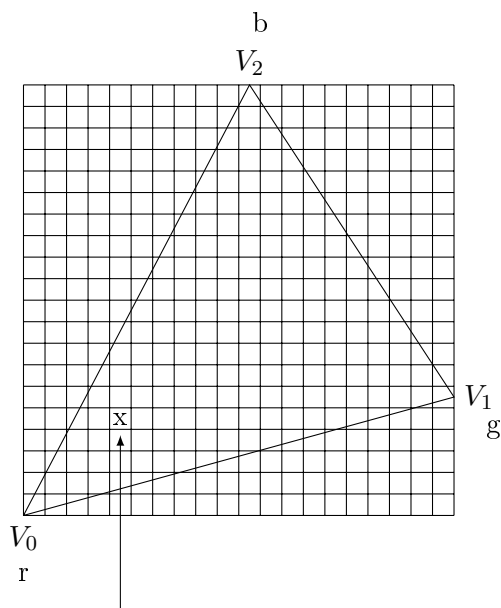
1  QMatrix4x4 M;
2  M.setToIdentity();    //  $M = \mathbb{1}$ 
3  M.rotate( $\varphi$ , 0, 0, 1); // Rotation um die z-Achse
4                          //  $M = M \cdot R$ 
5  M.scale( $s_1$ ,  $s_2$ );     //  $M = M \cdot S$ 
6  M.translate( $t_1$ ,  $t_2$ ); //  $M = M \cdot T$ 
7  //  $M = \underbrace{\mathbb{1} \cdot R \cdot S \cdot T}_{\text{Leserichtung für Transformation}}$ 
8  // Jeder Befehl wird zuerst ausgeführt! LIFO!
9  Mx'
```

2 VBO

	Kartesische Koord.	Farben	Textur-Koord.	Normal
v_0	x_0, y_0, z_0, w_0	r_0, g_0, b_0	s_0, t_0	u_0, v_0, w'_0
v_1				
\vdots				
v_{n-1}				

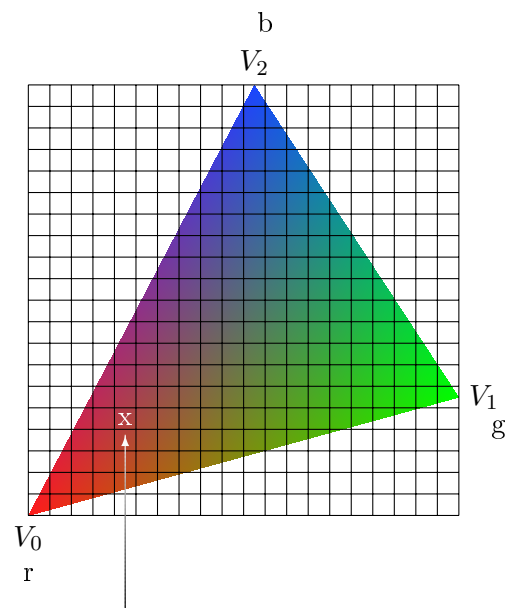
Entweder alles in einen Buffer \Rightarrow Array of Structs

Oder für jede Klasse einen eigenen Buffer \Rightarrow Struct of Array



interpolierte Farbe z.B. Mischung

(a) Beispiel Raster



interpolierte Farbe z.B. Mischung

(b) Beispiel Mischung der Farben

Shader nimmt die Attribute von den Randpunkten und prozessiert diese auf die Pixel im inneren des Dreiecks.

2.1 Baryzentrische Koordinaten

`varying` im Vertexshader

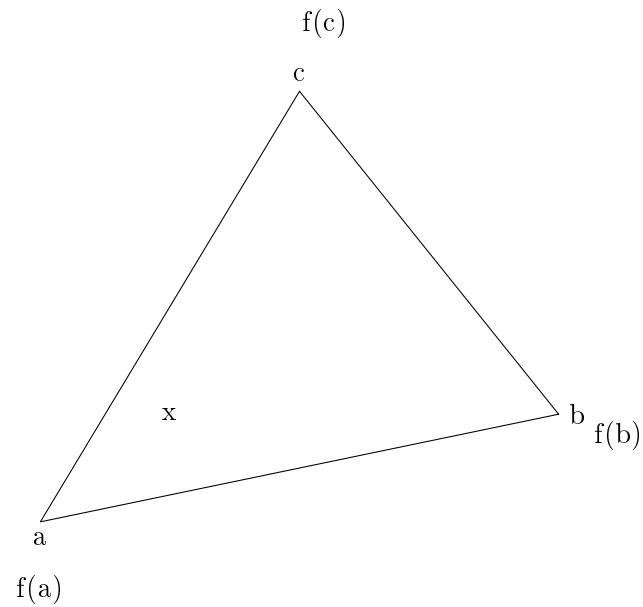


Abbildung 2.2: Baryzentrisches Koordinatensystem

$$\begin{pmatrix} a_1 & b_1 & c_1 \\ a_2 & b_2 & c_2 \\ 1 & 1 & 1 \end{pmatrix} \cdot \begin{pmatrix} \alpha \\ \beta \\ \gamma \end{pmatrix} = \begin{pmatrix} x_1 \\ x_2 \\ 1 \end{pmatrix}$$

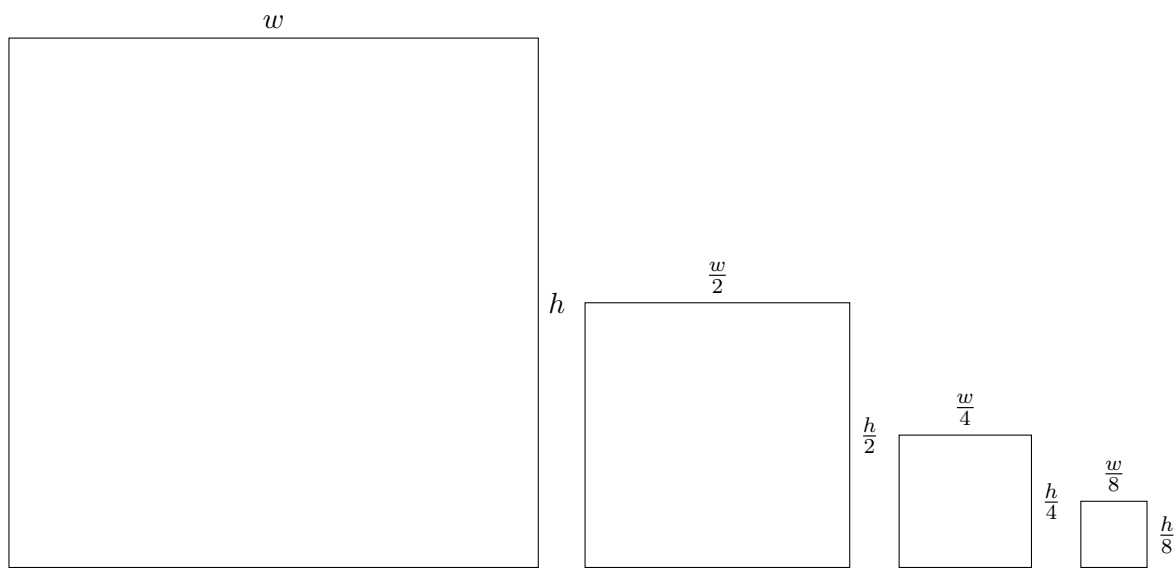
$$x = \alpha \cdot a + \beta \cdot b + \gamma \cdot c \wedge \alpha + \beta + \gamma = 1$$

$$\Rightarrow f(x) = \alpha \cdot f(a) + \beta \cdot f(b) + \gamma \cdot f(c)$$

(wird bei Qt durch das Keyword „Varying“ ausgelöst)

2.2 Texturen

2.2.1 Mipmap



$$S = \sum_{i=0}^{\infty} \left(\frac{1}{4}\right)^i = \frac{1}{1 - \frac{1}{4}} = \frac{4}{3}$$

Bildschirmpixel

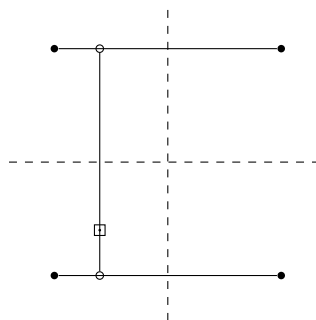
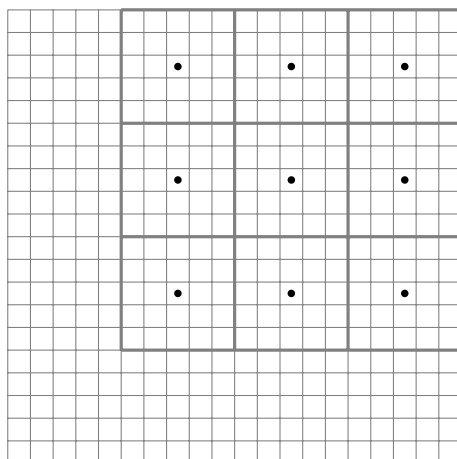
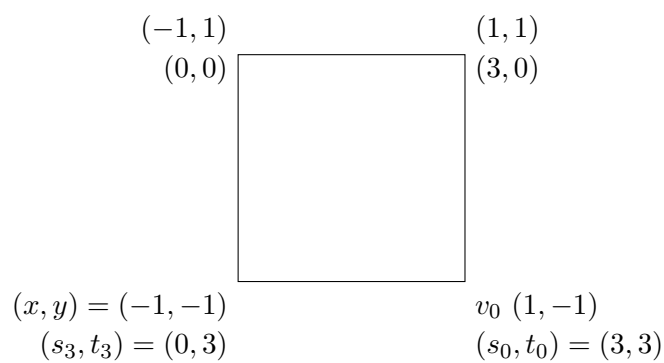


Abbildung 2.3: bilineare Interpolation



In der Regel sind Texturkoordinaten in $[0, 1]^2$, wenn größer wird sie periodisch verwendet.

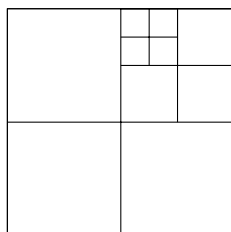
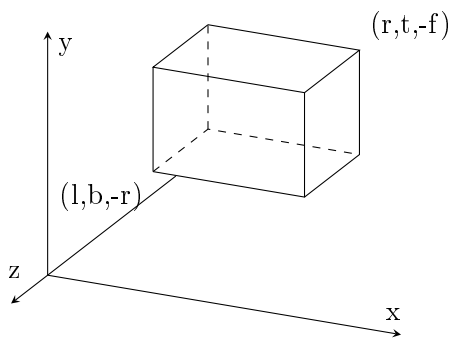


Abbildung 2.4: Maps Mipmapping

Denkanstoß: Welche Kette von Transformationen braucht man um zu einem Fixpunkt zu zoomen?

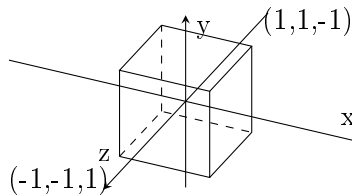
3 3D-Objekte

3.1 Orthogonalprojektion



$$\begin{aligned}x &\in [l, r] \\y &\in [b, t] \\z &\in [-f, -n]\end{aligned}$$

Sichtquader \rightarrow Einheitsquader



$$\begin{aligned}x' &\in [-1, 1] \\y' &\in [-1, 1] \\z' &\in [-1, 1]\end{aligned}$$

$$\begin{aligned}x' &= \alpha \cdot x + \beta \\l &\mapsto -1, \quad r \mapsto 1\end{aligned}$$

$$(1)$$

$$-1 = \alpha \cdot l + \beta$$

$$(2)$$

$$1 = \alpha \cdot r + \beta$$

$$(2) - (1)$$

$$2 = \alpha \cdot r - \alpha \cdot l \Rightarrow \alpha = \frac{2}{r-l}$$

$$1 = \frac{2 \cdot r}{r-l} + \beta$$

$$\beta = 1 - \frac{2r}{r-l} = \frac{r-l-2r}{r-l} = -\frac{r+l}{r-l}$$

Analog für y' und z'

$$\begin{pmatrix} x' \\ y' \\ z' \\ 1 \end{pmatrix}_{\text{NDS}} = \underbrace{\begin{pmatrix} \frac{2}{r-l} & 0 & 0 & \frac{r+l}{r-l} \\ 0 & \frac{2}{t-b} & 0 & \frac{t+b}{t-b} \\ 0 & 0 & \frac{-2}{f-n} & -\frac{f+n}{f-n} \\ 0 & 0 & 0 & 1 \end{pmatrix}}_O \cdot \begin{pmatrix} x \\ y \\ z \\ 1 \end{pmatrix}$$

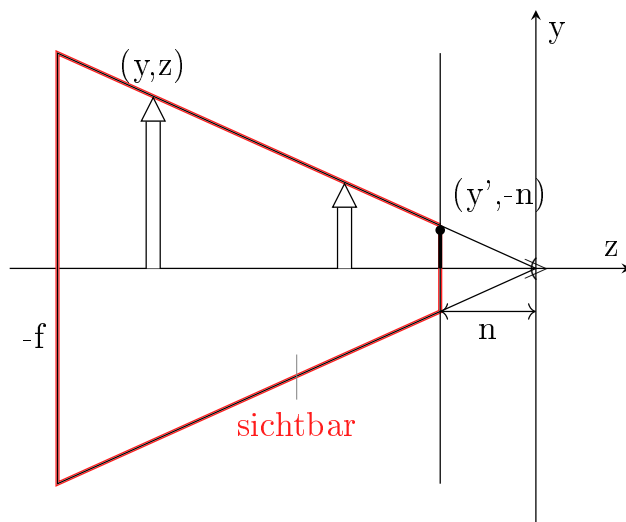
$$z' = -\frac{2}{f-n}z - \frac{f+n}{f-n}$$

$$z = n \quad z^* = \frac{2n - (f+n)}{f-n} = \frac{n-f}{f-n} = -1$$

$$-n \mapsto -1, \quad -f \mapsto 1$$

`Qmatrix4x4.ortho(1,n,b,t,n,f);` liefert O

3.2 Perspektivische Projektion

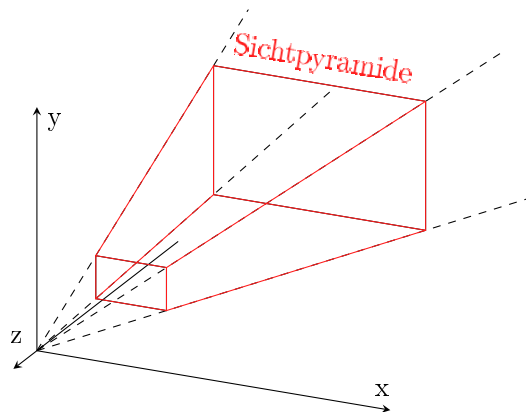


$$\frac{y'}{-n} = \frac{y}{z}$$

$$y' = -\frac{n \cdot y}{z}$$

3 3D-Objekte

Sichtpyramide \rightarrow Einheitswürfel



$$y' = -\frac{n \cdot y}{z}$$

$$\cap$$

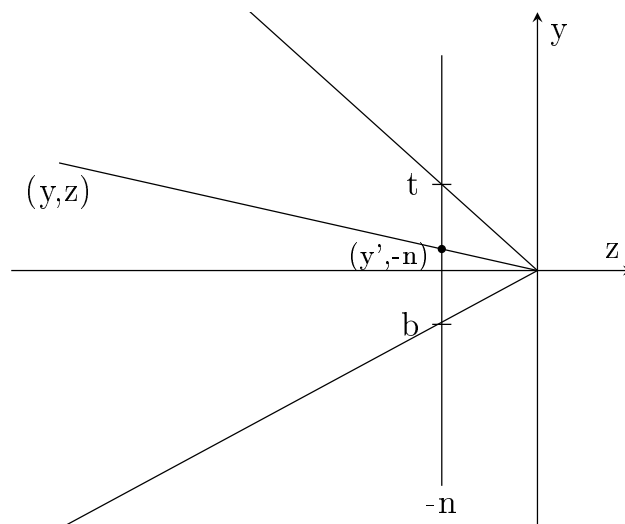
$$[b, t] \mapsto [-1, 1]$$

$$y'' = \alpha \cdot y' + \beta$$

$$y'' = \frac{2}{t \cdot b} \cdot y' - \frac{t+b}{t-b}$$

$$y'' = \frac{2n}{t-b} \cdot \frac{y}{-z} - \frac{t+b}{t-b}$$

analog für x'' , z''



$$\begin{pmatrix} x \\ y \\ z \\ w \end{pmatrix} \xrightarrow{\text{Dehomogenisierung}} \begin{pmatrix} \frac{x}{w} \\ \frac{y}{w} \\ \frac{z}{w} \end{pmatrix}$$

homogene Koord. Kartesische koord.

Homogenisierungsmatrix:

$$\begin{pmatrix} x'' \\ y'' \\ z'' \\ w'' \end{pmatrix} = \begin{pmatrix} \frac{2n}{r-l} & 0 & \frac{r+l}{r-l} & 0 \\ 0 & \frac{2n}{t-b} & -\frac{t+b}{t-b} & 0 \\ 0 & 0 & \alpha & \beta \\ 0 & 0 & -1 & 0 \end{pmatrix} \cdot \begin{pmatrix} x \\ y \\ z \\ 1 \end{pmatrix}$$

$$y'' = \frac{2n}{t-b} \cdot y + \frac{t+b}{t-b} \cdot z$$

$$w'' = -z$$

$$\frac{y''}{w''} = \frac{2n}{t-b} \frac{y}{(-z)} + \frac{t+b}{t-b} \frac{z}{(-z)}$$

$$z''' = \frac{z''}{w''} = \frac{\alpha \cdot z + \beta}{-z} = -\alpha - \frac{\beta}{z}$$

$$-n \mapsto -1, \quad -f \mapsto 15$$

$$-\alpha - \frac{\beta}{-n} = -1$$

$$-\alpha - \frac{\beta}{-f} = 1$$

$$-\alpha + \frac{\beta}{n} = -1(1)$$

$$-\alpha + \frac{\beta}{f} = 1(2)$$

$$\frac{\beta}{f} - \frac{\beta}{n} = 2(2) - (1)$$

$$\beta \left(\frac{1}{f} - \frac{1}{n} \right) = 2$$

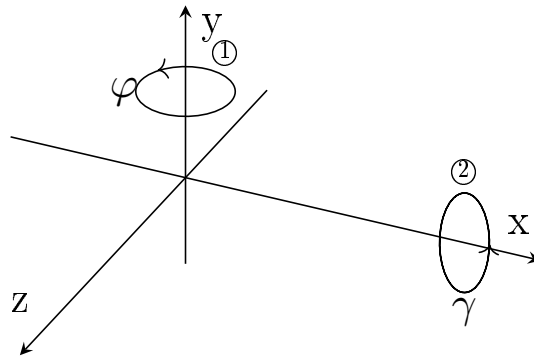
$$\beta \left(\frac{n-f}{fn} \right)$$

$$\beta = \frac{-2nf}{f-n}$$

$$\alpha = \frac{\beta}{f} - 1 = -\frac{2n-(f-n)}{f-n} = \frac{f+n}{f-n}$$

3.3 Objekte drehen aka Blickwinkel ändern

$$p' = \underset{\substack{\textcircled{2} \\ \uparrow \\ \text{Drehung um} \\ \text{die Welt-x-Achse}}}{R_{\vartheta,x}} \cdot \underset{\substack{\textcircled{1} \\ \uparrow \\ \text{Drehung um} \\ \text{die Welt-y-Achse}}}{R_{\varphi,y}} \cdot p$$



3D-Brille

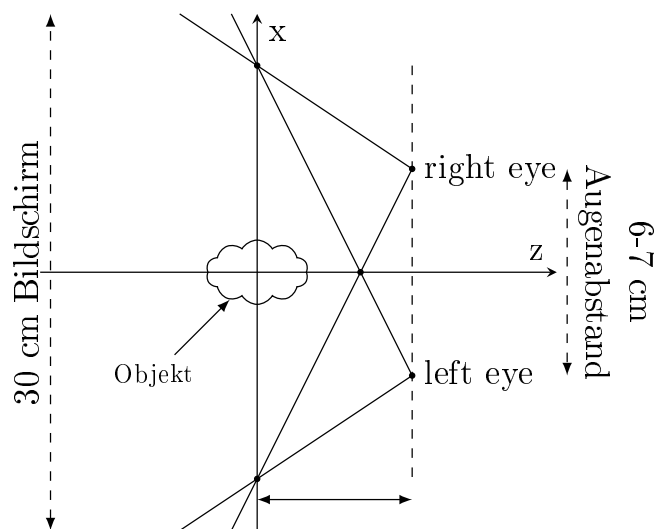
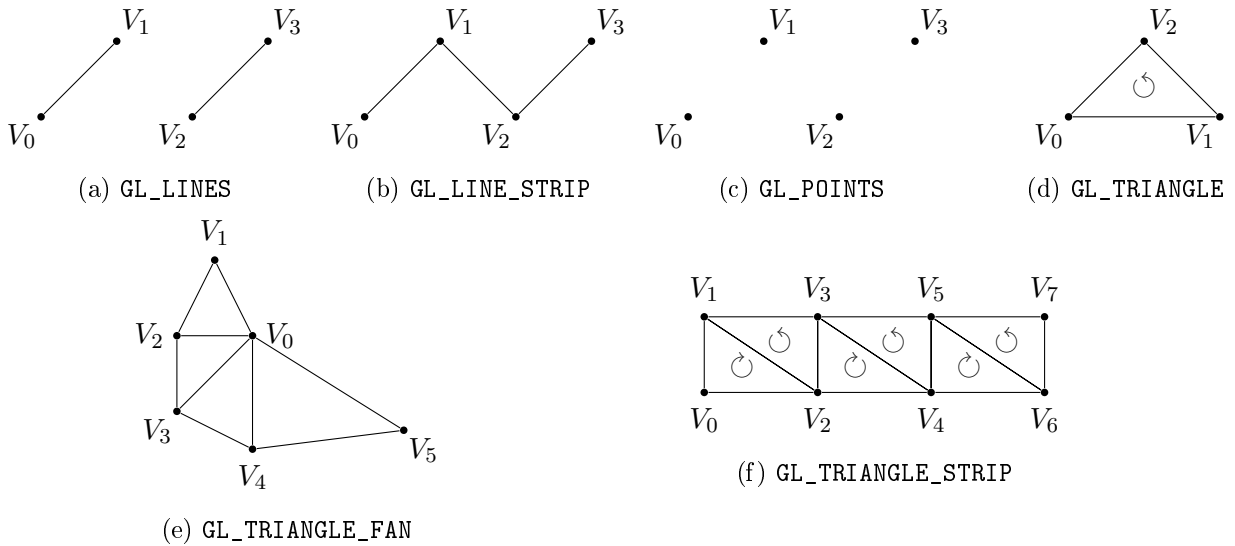
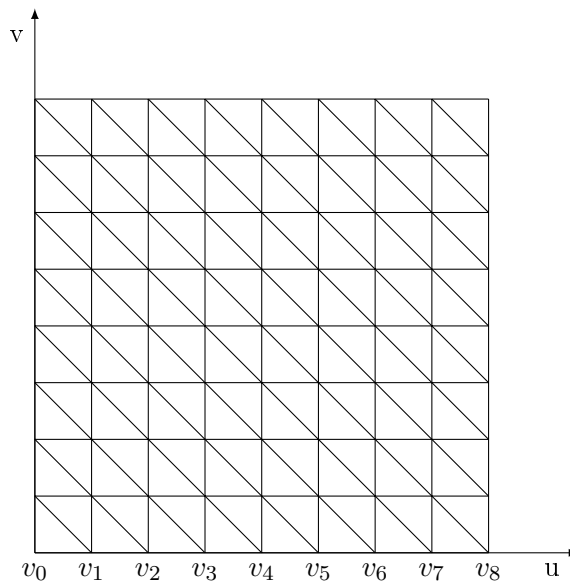


Abbildung 3.1: Streckenangaben sind beispielhaft

4 Qt Formen



Um den `GL_TRIANGLE_STRIP` abzuschließen wird der letzte Knoten (hier V_7) zweimal gesendet.



$$f: \mathbb{R}^2 \rightarrow \mathbb{R}^3$$

$$(u, v) \rightarrow (x, y, z)$$

Vertex Buffer Objects \leftarrow Koordinatenzusatzinformationen

Index Buffer Objects \leftarrow Indices der Vertexe

4.1 OFF-Format

<i>n</i>	<i>f</i>	<i>e</i>
<i>x</i> ₀	<i>y</i> ₀	<i>z</i> ₀
<i>x</i> ₁	<i>y</i> ₁	<i>z</i> ₁
	⋮	
3	<i>i</i> ₁	<i>i</i> ₂ <i>i</i> ₃
	⋮	

Index Face Set
GL_ELEMENT_ARRAY_BUFFER

5 Beleuchtung

5.1 Ein einfaches Beleuchtungsmodell

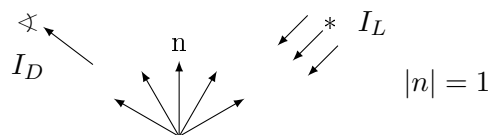
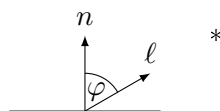


Abbildung 5.1: Diffuse Reflexion

5.1.1 Lambertsches Gesetz

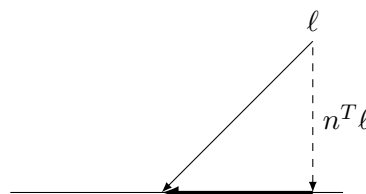


$$I_O = I_L \cdot \ell^T \cdot n$$

$$|n| = |\ell| = 1$$

ℓ zeigt zur Lichtquelle.

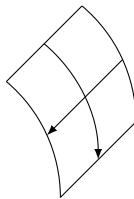
$$\cos(\varphi) = \frac{\ell^T \cdot n}{|n||\ell|} \left(= \frac{\langle \ell, n \rangle}{|n||\ell|} \right)$$



6 Einschübe

6.1 Berechnung des Normalenvektors für parametrisierte Flächen

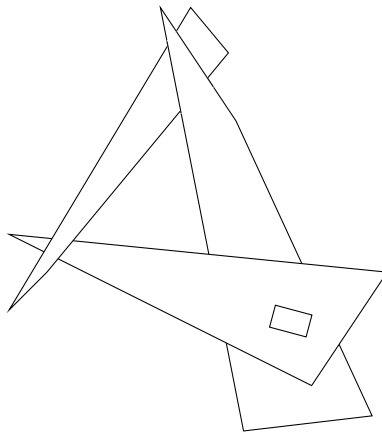
$$(u, v) \rightarrow (x, y, z) = f$$



$$\frac{\partial f(u, v)}{\partial u} \times \frac{\partial f(u, v)}{\partial v} = n$$

Im Allgemeinen gilt $|n| \neq 1$

6.2 Tiefenbuffer



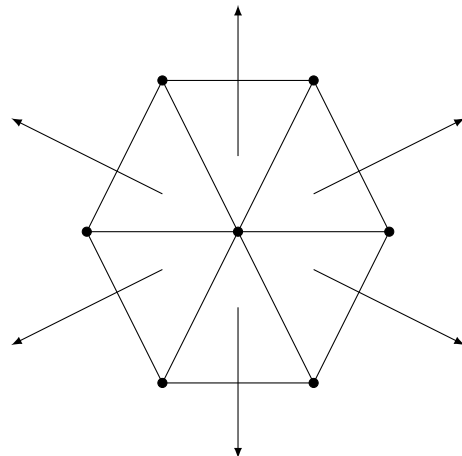
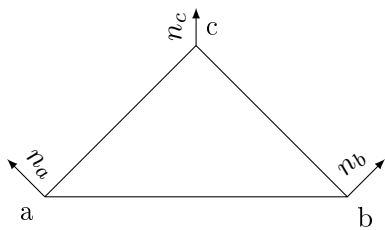
`glEnable(GL_DEPTH_TEST)` - Tiefentest aktivieren.

7 Beleuchtung (Fortsetzung)

7.1 Flatshading

Alle Knoten einer Fläche habe die gleiche Normale

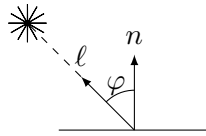
Normale ermitteln + normieren (u.U. Gewichten z.B. Fläche oder Winkel)



7 Beleuchtung (Fortsetzung)

Lambert

$$I_D = I_L \cdot (n^T \cdot \ell)$$



$$x' = M \cdot x$$

$$E = \{x | n^T x = n_0\}$$

$$M \in \mathbb{R}^{3 \times 3}$$

$$\{Mx | n^T x = n_0\}$$

$$\text{z.B. } M = R$$

$$R^{-1} = R^T$$

$$R : \text{Rotation}$$

Transformationsregel

$$x' = \mathbb{R}x$$

$$n' = \mathbb{R}n$$

Behauptung

$$x' = Mx$$

$$\text{für Rotationen } (R^{-1})^T = \mathbb{R}$$

$$n' = (M^{-1})^T n$$

Beweis

$$\begin{aligned} n'^T x' &= \left((M^{-1})^T n \right)^T Mx = n^T M^{-1T} \cdot Mx = n^T M^{-1} Mx \\ &= n^T x = n_0 \end{aligned}$$

Qt $(M^{-1})^T$. `QMatrix4x4::normalMatrix`

8 Einschub: virtual Trackball

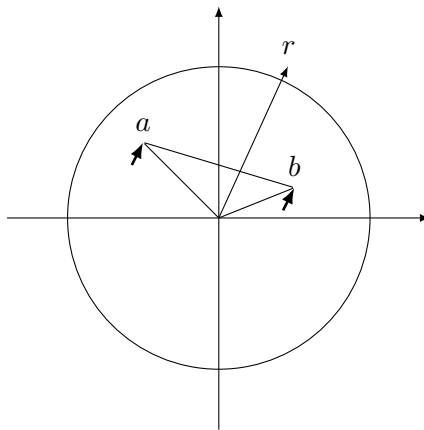


Abbildung 8.1: Virtueller Trackball

$$a = (x_a, y_a, \sqrt{1 - x_a^2 - y_a^2})$$

$$b = (x_b, y_b, \sqrt{1 - x_b^2 - y_b^2})$$

$$r = a \times b \pm \text{normieren}$$

Bewege a nach b auf einem Großkreis

Normale der Großkreisebene ist $\frac{a \times b}{|a \times b|} = r \hat{=}$ Rotationsachse

Winkel

$$\cos \angle(a, b) = \frac{a \cdot b}{|a \cdot b|}$$

8.1 Formel von Rodrigues

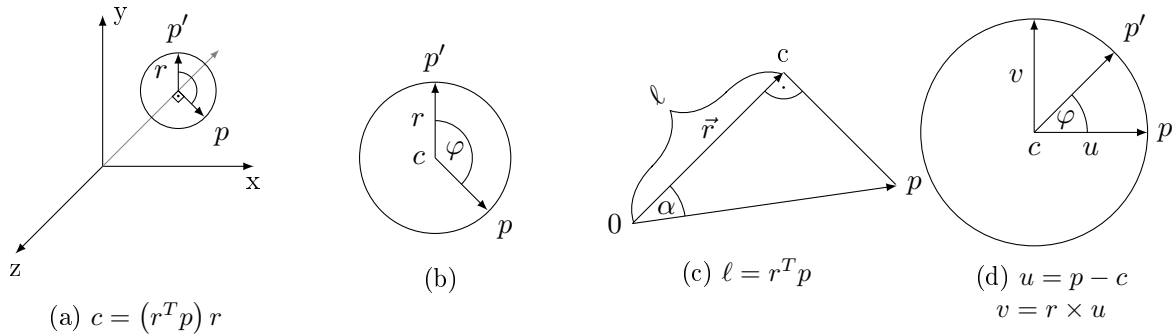
Achse, Winkel \rightarrow Rotationsmatrix

$$(r, \varphi) \rightarrow R$$

$$|r| = 1$$

```
1 QMatrix4x4 R;
2 R.rotate(  $\underbrace{f}_{\text{deg}}$ , r);
```

8 Einschub: virtual Trackball



zu c

$$\begin{aligned} \ell &= \cos \alpha \cdot |p| \\ &= \underbrace{\frac{r^T p}{|r| |p|}}_{=1} |p| \end{aligned}$$

$$\begin{aligned} R p &= p' = c + \cos \varphi u + \sin \varphi v \\ &= c + \cos \begin{pmatrix} 1 \\ 0 \end{pmatrix} + \sin \varphi \begin{pmatrix} 0 \\ 1 \end{pmatrix} \\ &= c + \cos \varphi (p - c) + \sin \varphi (r \times (p - c)) \\ &= (1 - \cos \varphi) c + \cos \varphi p + \sin \varphi (r \times p) \\ &= (1 - \cos \varphi) (r r^T) p + \cos \varphi p + \sin \varphi (r^x p) \\ &= (1 - \cos \varphi) r r^T + \cos \varphi I + \sin \varphi r^x \end{aligned}$$

da $r \times c = 0$

$$(AB)C = A(BC)$$

$$r^T r = \begin{pmatrix} r_1^2 & r_1 r_2 & r_1 r_3 \\ r_2 r_1 & r_2^2 & r_2 r_3 \\ r_3 r_1 & r_3 r_2 & r_3^2 \end{pmatrix}$$

8.1.1 dyadisches Produkt

$$(r r^T)^T = r^{T^T} r^T = r r^T \quad \Rightarrow \text{symmetrisch}$$

$$r \times p = A p$$

$$\begin{pmatrix} r_1 \\ r_2 \\ r_3 \end{pmatrix} \times \begin{pmatrix} p_1 \\ p_2 \\ p_3 \end{pmatrix} = \begin{pmatrix} r_2 p_3 - r_3 p_2 \\ r_3 p_1 - r_1 p_3 \\ r_1 p_2 - r_2 p_1 \end{pmatrix} = \begin{pmatrix} 0 & -r_3 & r_2 \\ r_3 & 0 & -r_1 \\ -r_2 & r_1 & 0 \end{pmatrix} \begin{pmatrix} p_1 \\ p_2 \\ p_3 \end{pmatrix}$$

$A = \text{Axiator von } r$

$$r^x := A$$

Qt

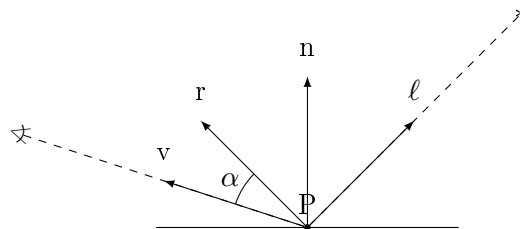
$$R - e^{\varphi r^x} \quad e^A = \sum_{n=0}^{\infty} \frac{1}{n!} \cdot A^n$$

$$\begin{aligned} r^{x^T} &= -r^x \\ \text{sch}(A) &= \sum_{n=0}^{\infty} \frac{1}{(2n+1)!} A^{2n+1} \cdot (-1)^n \end{aligned}$$

Alternative: Quaternionen

9 Beleuchtung (Fortsetzung)

9.1 Phong Lichtmodell

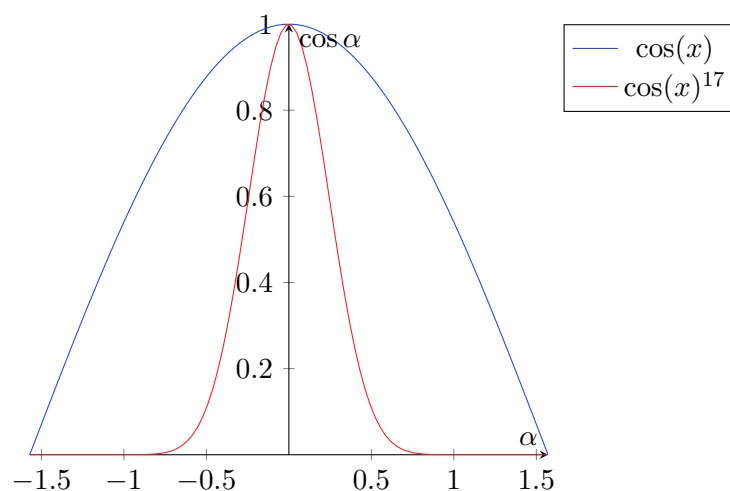


$$|n| = |\ell| = |r| = |v| = 1$$

$$r = 2n(n^T \ell) - \ell$$

S = Shininess

$$I_S = I_L (\cos \alpha)^S = I_L (r^T v)^S, \quad I_D = I_L (n^T \ell)$$



9.1.1 Phong

$$I_{\text{Color}} = I_{\text{Ambient, Color}} + I_{\text{Diffuse, Color}} + I_{\text{Specular, Color}}$$

$$\text{Color} \in \{\text{Red, Green, Blue}\}$$

```

1 void main() {
2     vec3 normal = normalize(vNormal);
3     vec3 lightDir = normalize(lightPos - vPos);
4     vec3 reflectDir = reflect(lightDir, normal);
5     vec3 viewDir = normalize(-vPos);

7     float lambertian = max(dot(lightDir, normal), 0.0.);

```

9 Beleuchtung (Fortsetzung)

```
8     float specular = 0.0;
10    if ( lambertian > 0.0) {
11        float specAngle = max(dot(reflectDir, viewDir), 0.0);
12        specular = pow(specAngle, uShininess);
13    }
14    gl_FragColor = vec4(uAmbient + lambertian * uDiffuse + specular * uSpecular, 1.0);
15 }
```

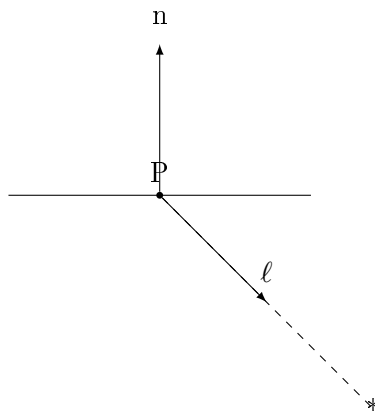
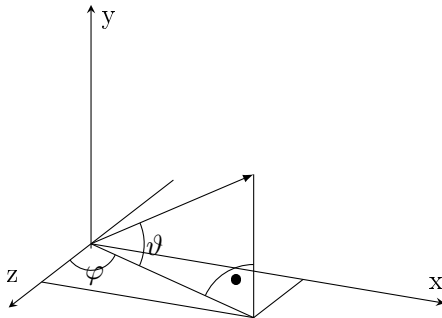


Abbildung 9.1: Zu ignorierende Lichtquelle

10 Oberflächen

10.1 Texturen



$$(\varphi, \vartheta) \mapsto \begin{pmatrix} x \\ y \\ z \end{pmatrix} = \begin{pmatrix} \cos \vartheta \cdot \sin \varphi \\ \sin \vartheta \\ \cos \vartheta \cdot \cos \varphi \end{pmatrix}$$

$$0 \leq \varphi \leq 2\pi$$

$$-\frac{\pi}{2} \leq \vartheta \leq \frac{\pi}{2}$$

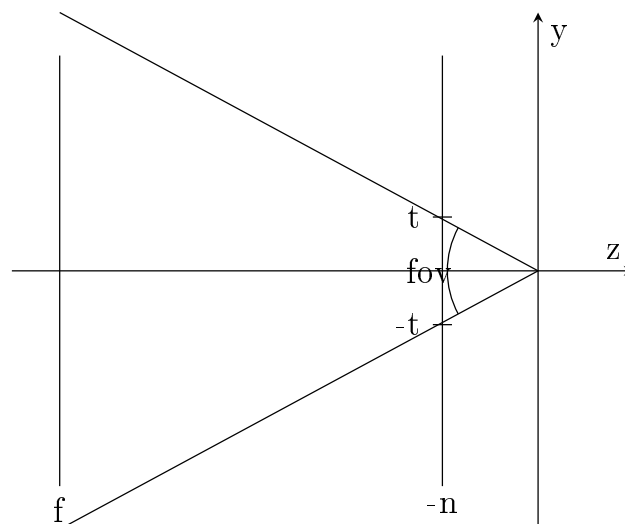
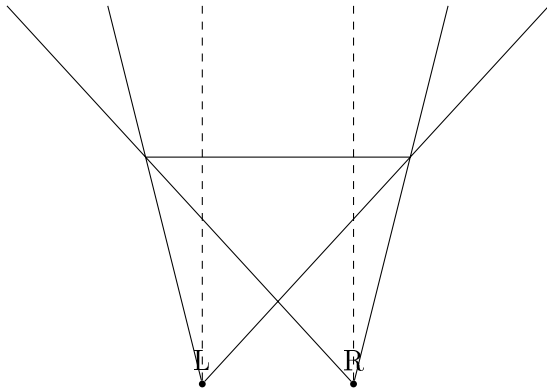


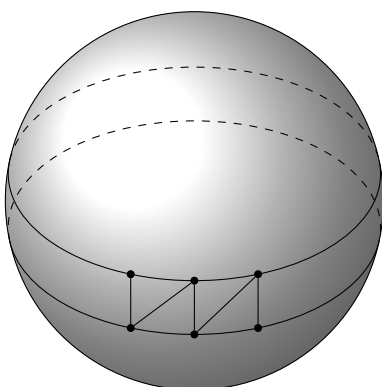
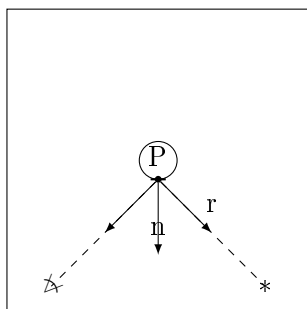
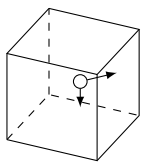
Abbildung 10.1: Field of view

```
perspective(fov, aspectratio, n, f);
```

10 Oberflächen

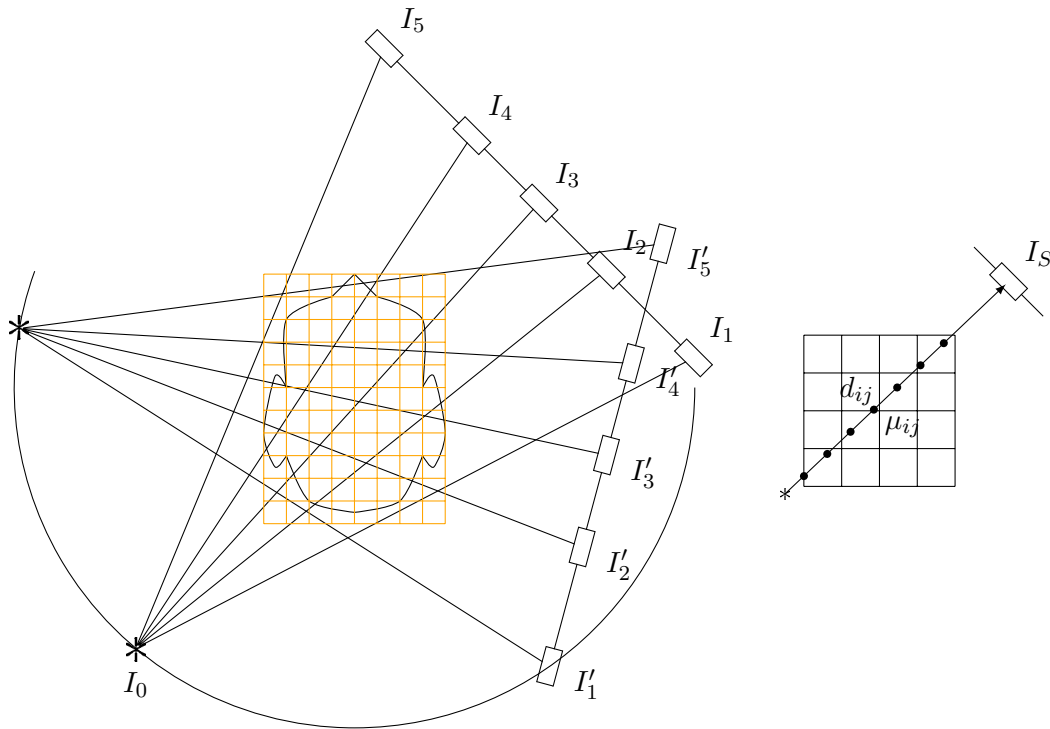


10.2 Cube-Mapping



11 Volume Rendering mit 3D-Texturen

11.1 DVT



11.1.1 Lambert-Beer-Gesetz

$$I^{\text{out}} = I^{\text{in}} \cdot e^{-\mu \cdot d}$$

Schwächungskoeffizienten

$$I_S = I_0 \cdot e^{\sum_{\square(i,j) \cap S \neq \emptyset} \mu_{ij} \cdot d_{ij}}$$

$$\ln \frac{I_0}{I_S} = \sum_{\square(i,j) \cap S \neq \emptyset} \mu_{ij} \cdot d_{ij}$$

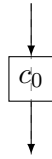
$$I = \bigcap_{\mathbb{R}^{360.000.000 \times 128.000.000}} D \cdot \mu$$

Inverses Problem

Gegeben: Gemessene Intensitäten I_S für alle Strahlen, die die Bildebene treffen für hinreichend viele Aufnahmegerichtungen.

11 Volume Rendering mit 3D-Textures

Gesucht: Schwächungskoeffizienten für alle Voxel des zu rekonstruierenden Volumens.



$$c^{\text{out}} = c^{\text{in}} \cdot (1 - \alpha_i) + c_i \alpha_i$$

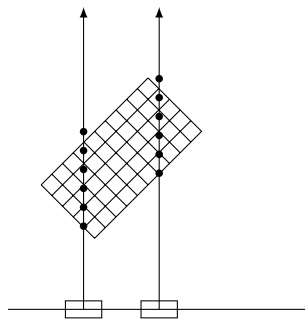
α_i = Deckkraft der Farbe c_i

$1 - \alpha_i \hat{=}$ Transparenz



$$c^{\text{out}} = \sum_{i=1}^n c_i \alpha_i \prod_{j=i+1}^n (1 - \alpha_j)$$

11.2 Raycasting mittels front-to-back rendering



Auf der Sichtlinie werden in regelmäßigen Abständen im Körper Messpunkte gesetzt. Für jeden Messpunkt wird nun, wie vorher beschrieben, die Farbe und Leuchtkraft bestimmt. Anschließend werden diese zu einer Farbe für den entsprechenden Pixel auf dem Bildschirm zusammengefasst. Wir beginnen dabei mit dem entferntesten und enden mit dem Messpunkt am nächsten. Dadurch werden Voxel, welche hinter „soliden“ Voxeln liegen in der Farbwahl nicht betrachtet.

12 Einschub: Algebraische Flächen

$$f(x, y, z) = 0$$

$$\text{z.B. } \{(x, y, z) \mid x^2 + y^2 + z^2 - 1 = 0\}$$

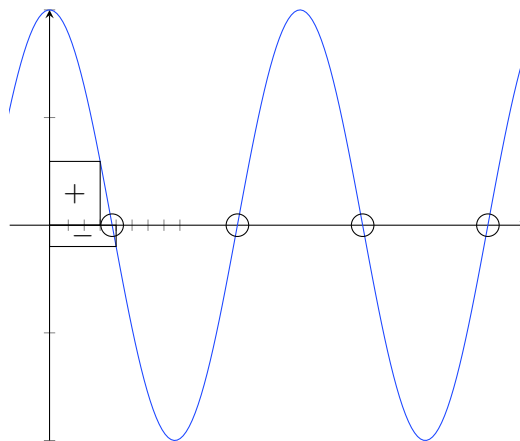
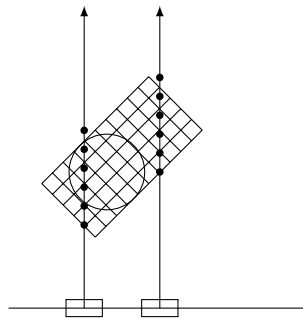


Abbildung 12.1: Finden von Nullstellen durch Suche nach Vorzeichenwechsel

Wie beim Raycasting wird der Bereich in Abschnitte unterteilt und diese einzeln untersucht, folgt auf ein + ein – (oder umgekehrt), liegt dazwischen eine Nullstelle.

$$p \quad \nabla f(p) = n$$